

TRIODE-HEPTODE for use as pulse separator, noise inverter and sync. amplifier

TRIODE-HEPTODE pour utilisation comme séparatrice d'impulsions, invertisseuse de bruit et amplificatrice des impulsions de synchronisation

TRIODE-HEPTODE zur Verwendung bei Impulsabtrennung, Stör-  
unterdrückung und Synchronisationsverstärkung

Heating : Indirect by A.C. or D.C.  
series or parallel supply

Chauffage: Indirect par C.A. ou C.C.  
alimentation série ou parallèle

Heizung : Indirect durch Wechsel-  
oder Gleichstrom; Serien-  
oder Parallelspeisung

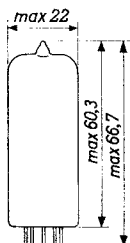
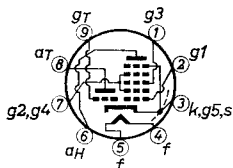
$$V_f = 6,3 \text{ V}$$

$$I_f = 300 \text{ mA}$$

Dimensions in mm

Dimensions en mm

Abmessungen in mm



Base, culot, Sockel: NOVAL

Capacitances; Capacités; Kapazitäten

Triode section  
Partie triode  
Triodenteil

Heptode section  
Partie heptode  
Heptodenteil

$$C_g = 3,0 \text{ pF}$$

$$C_{ag1} < 0,009 \text{ pF}$$

$$C_{ag} = 1,1 \text{ pF}$$

Between triode and heptode sections  
Entre les parties triode et heptode  
Zwischen Trioden- und Heptodenteil

$$C_{g1H-gT} < 0,10 \text{ pF}$$

$$C_{g1H-aT} < 0,08 \text{ pF}$$

$$C_{g3H-aT} < 0,13 \text{ pF}$$

$$C_{aH-gT} < 0,09 \text{ pF}$$

$$C_{aH-aT} < 0,25 \text{ pF}$$

Typical characteristics of the heptode section  
 Caractéristiques types de la partie heptode  
 Kenndaten des Heptodenteils

$V_a$	=	135 V
$V_{g3}$	=	0 V
$V_{g2, g4}$	=	14 V
$V_{g1}$	=	0 V
$I_a$	=	1,7 mA
$I_{g2, g4}$	=	0,9 mA
$S$	=	2,2 mA/V
$V_{g3}$	$\left\{ \begin{array}{l} V_{g1} = 0 \text{ V} \\ I_a = 20 \text{ } \mu\text{A} \end{array} \right\}$	= -2 V
$V_{g1}$	$\left\{ \begin{array}{l} V_{g3} = 0 \text{ V} \\ I_a = 20 \text{ } \mu\text{A} \end{array} \right\}$	= -1,9 V
$-V_{g3}$	( $I_{g3} = 0,3 \text{ } \mu\text{A}$ )	< 1,3 V
$-V_{g1}$	( $I_{g1} = 0,3 \text{ } \mu\text{A}$ )	< 1,3 V

Typical characteristics of the triode section  
 Caractéristiques types de la partie triode  
 Kenndaten des Triodenteils

$V_a = 200 \text{ V}$	$V_a$	=	50 V
$V_g = -11 \text{ V}$	$V_g$	=	0 V
$I_a < 0,1 \text{ mA}$	$I_a$	=	3 mA
	$S$	=	3,7 mA/V
	$\mu$	=	50
	$-V_g$ ( $I_g = 0,3 \text{ } \mu\text{A}$ )	<	1,3 V

Limiting values of the heptode section (design centre values)

Caractéristiques limites de la partie heptode (limites moyennes)

Grenzdaten des Heptodenteiles (Normalgrenzdaten)

$V_{a0}$	= max.	550 V
$V_a$	= max.	250 V
$W_a$	= max.	1,7 W
$V_{(g_2, g_4)_0}$	= max.	550 V
$V_{g_2, g_4}$	= max.	250 V
	= min.	10 V <sup>1)</sup>
$W_{g_2, g_4}$	= max.	0,8 W
$-V_{g_3p}$	= max.	150 V
$R_{g_3}$	= max.	3 M $\Omega$
$-V_{g_1p}$	= max.	150 V
$R_{g_1}$	= max.	3 M $\Omega$
$I_k$	= max.	12,5 mA
$V_{kf}$	= max.	100 V

Limiting values of the triode section (design centre values)  
Caractéristiques limites de la partie triode (limites moyennes)

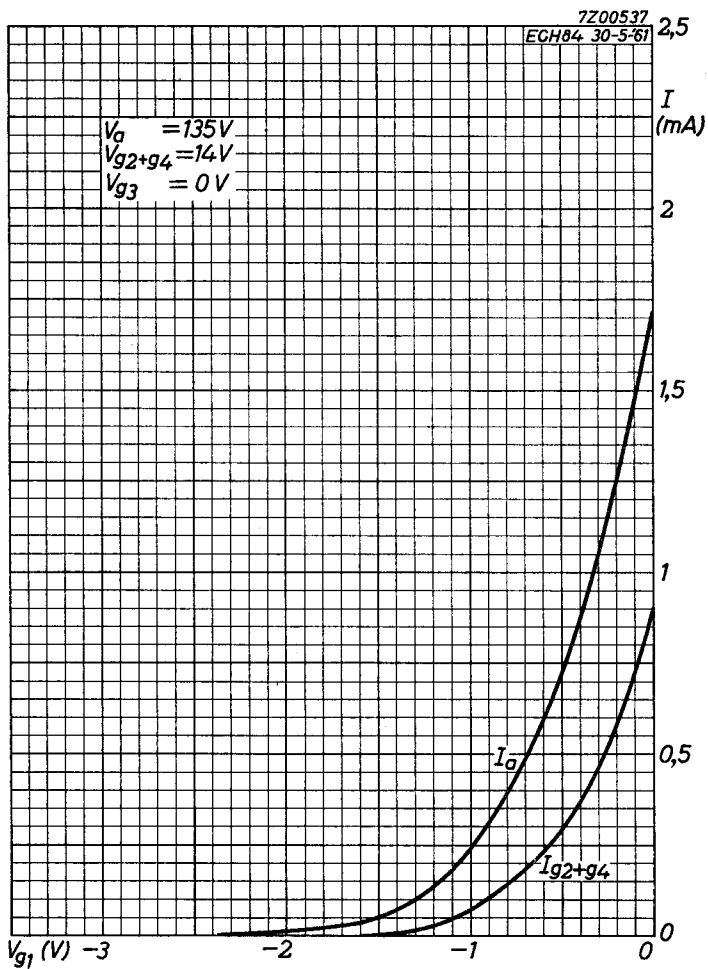
Grenzdaten des Triodenteiles (Normalgrenzdaten)

$V_{a0}$	= max.	550 V
$V_a$	= max.	250 V
$W_a$	= max.	1,3 W
$-V_{g_p}$	= max.	200 V
$R_g$	= max.	3 M $\Omega$
$I_k$	= max.	10 mA
$V_{kf}$	= max.	100 V

<sup>1)</sup> With an average tube under the worst probable operating conditions  $V_{g_2, g_4}$  should not be lower than 10 V.

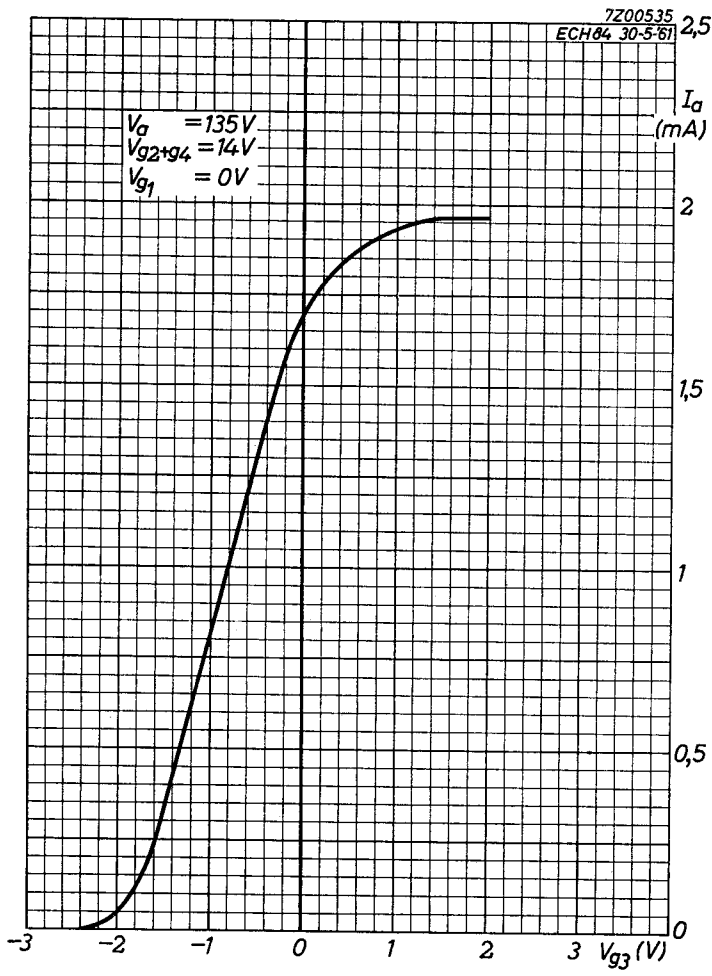
Avec un tube moyen dans les pires conditions de fonctionnement probables  $V_{g_2, g_4}$  ne doit pas être inférieure à 10 V.

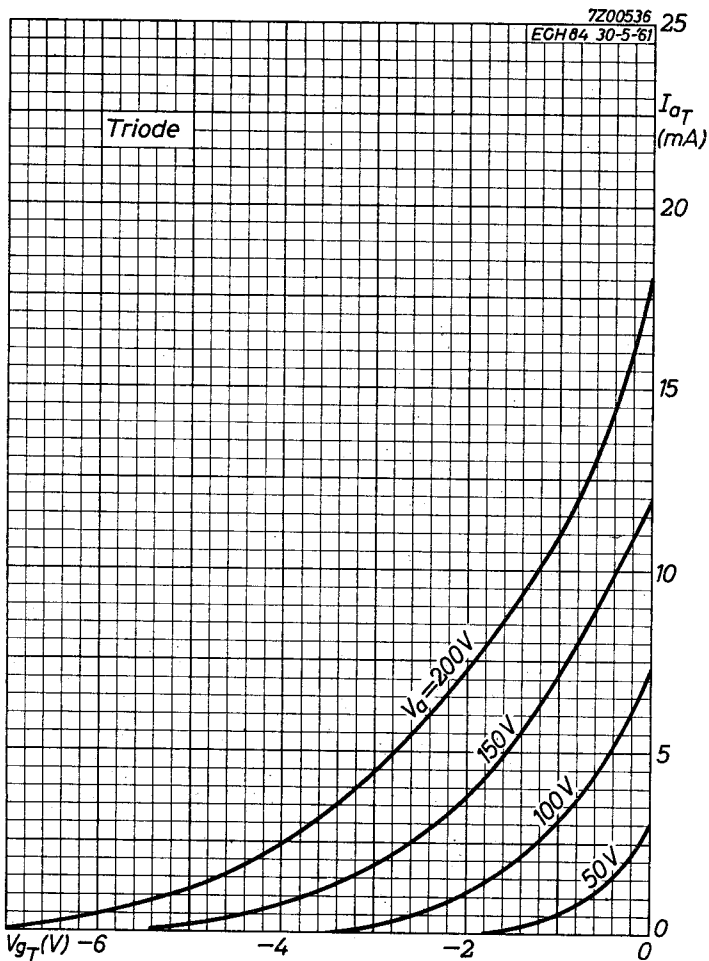
Mit einer durchschnittlichen Röhre soll  $V_{g_2, g_4}$  unter den ungünstigst wahrscheinlichen Umständen einen Wert von 10 V nicht unterschreiten.



# ECH84

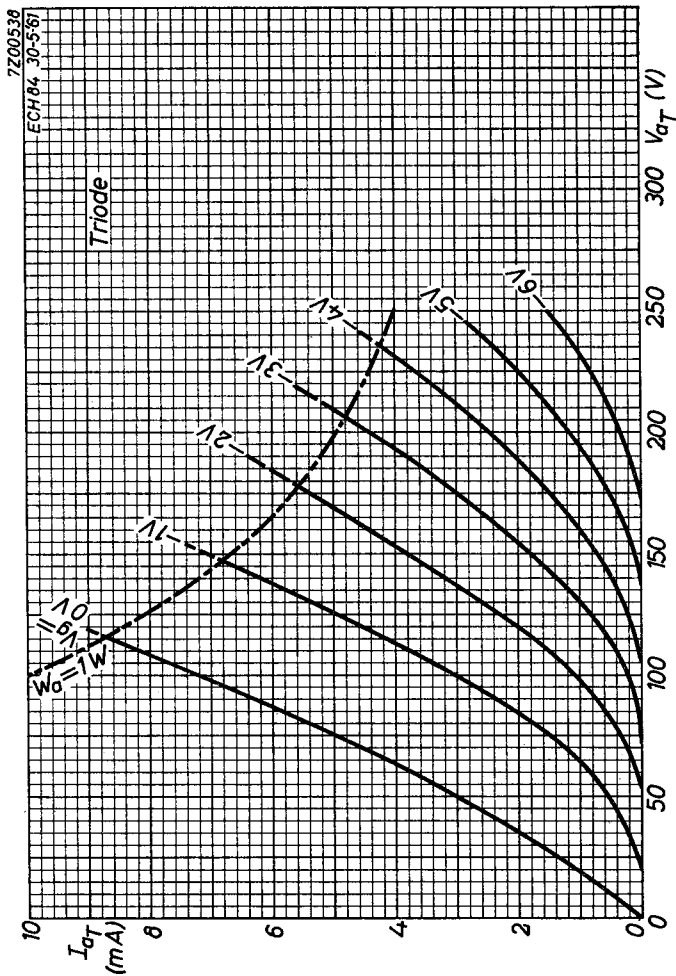
# PHILIPS





# ECH84

# PHILIPS



**PHILIPS**



*Electronic  
Tube*

**HANDBOOK**

<b>page</b>	<b>ECH84 sheet</b>	<b>date</b>
1	1	1961.06.06
2	2	1961.06.06
3	3	1961.06.06
4	A	1961.06.06
5	B	1961.06.06
6	C	1961.06.06
7	D	1961.06.06
8	FP	2005.05.06